

мой ситуации ангармонизм приводит лишь к перенормировке функций ϕ , $\dot{\phi}$, т. е. в конечном счете к изменению масштаба используемых выше величин $\langle x^2(t_i) \rangle$, $\langle E_i \rangle$ с сохранением всех зависимостей, содержащих эти величины. Подчеркнем, что слабость ангармонических эффектов предполагается при этом только для равновесных тепловых колебаний; движение атомов после сильного толчка налетевшего атома может быть при этом сильноангармоническим.

Изложенные в работе соображения пригодны как к конденсации, так и к распылению атомов относительно медленными атомными частицами, причем в последнем случае вместо $\langle \bar{E}_i \rangle$ следует принять константу, в гармоническом пределе совпадающую с T . Формулы (8), (9) определяют роль энергии падающих частиц x_m , характеристик бомбардируемой поверхности K , b , температуры $\langle E_i \rangle$ и могут быть использованы для широкого круга реальных физических ситуаций.

Поступила 11 XI 1980

ЛИТЕРАТУРА

1. Zwanzig R. W. Collision of a gas atom with a solid surface.— J. Chem. Phys., 1960, vol. 32, N 4.
2. Пирнику А. А. Взаимодействие молекул газа с поверхностями. М.: Наука, 1974.
3. Баранцев Р. Г. Взаимодействие разреженных газов с обтекаемыми поверхностями. М.: Наука, 1975.
4. Гудман Ф., Вахман Г. Динамика рассеяния газа поверхностью. М.: Мир, 1980.
5. Strijenov D. S. Influence of thermal motion in a solid on the interaction of an atom colliding with the solid surface.— Fluid Dynam. Trans., 1971, vol. 5, pt II.
6. Тамбовцев Ю. И. Неравновесная классическая теория взаимодействия атомов газа с поверхностью твердого тела. ВИНИТИ 7189 — 73 деп., ВИНИТИ 7319 — 73 деп., 1973.
7. Галанов А. Е. Модель неупругого рассеяния атома на поверхности кристалла в импульсном приближении.— ПМТФ, 1976, № 6.
8. Жук В. И. О захвате атомов газа на поверхности твердого тела.— ПМТФ, 1979, № 1.
9. Марадудин А., Монтролл Э., Вейсс Дж. Динамическая теория кристаллической решетки в гармоническом приближении. М.: Мир, 1965.

УДК 533.72

К ВОПРОСУ О ТЕПЛООБМЕНЕ ЭЛЛИПТИЧЕСКИХ ЦИЛИНДРОВ С ОБТЕКАЮЩИМ ИХ ГАЗОВЫМ ПОТОКОМ ПРИ МАЛЫХ ЧИСЛАХ ПЕКЛЕ

*И. М. Скачков, Е. Р. Щукин, Ю. И. Яламов
(Москва)*

В работах [1—3] подробно рассмотрен теплообмен кругового цилиндра, обтекаемого газовым потоком. В [2, 3] в случае малых конечных чисел Пекле и Рейнольдса получены распределение температуры и число Нуссельта с точностью до Re^2 . Теплообмен некруговых цилиндров ранее в литературе не рассматривался. В данной работе теоретически рассмотрен теплообмен эллиптического цилиндра с газовым потоком, перпендикулярным образующей цилиндра.

Распределение температуры T_i вдоль поверхности цилиндра будем считать однородным ($T_i = \text{const}$). Рассматривается случай $Re \ll 1$ и малых относительных перепадов температуры T в системе цилиндр — газовый поток ($|T_i - T|/T \ll 1$).

При нахождении распределения температуры T в газовом потоке будем решать уравнение Озенна, которое, как показано в [2, 3], дает верное нулевое приближение для T :

$$(1) \quad u \operatorname{grad} T = \chi \operatorname{div} \operatorname{grad} T$$

с граничными условиями

$$(2) \quad \begin{aligned} T &= T_i && \text{на поверхности цилиндра,} \\ T &= T_\infty && \text{на бесконечности,} \end{aligned}$$

где χ — коэффициент температуропроводности. Решение целесообразнее всего проводить в эллиптической системе координат, которая связана с декартовыми координатами следующими соотношениями:

$$x = c \operatorname{ch} \xi \cos \eta, \quad y = c \operatorname{sh} \xi \sin \eta,$$

где c — фокусное расстояние эллипса. Переидя от зависимой переменной T к безразмерной переменной $t = (T - T_\infty)/(T_i - T_\infty)$ и произведя подстановку $t = \exp [-(k/a)(x \cos \eta_0 + y \sin \eta_0)]v$, от системы (1), (2) переходим к более простой системе:

$$(3) \quad \frac{\partial^2 v}{\partial \xi^2} + \frac{\partial^2 v}{\partial \eta^2} + (kc/a)^2 (\cos^2 \eta - \operatorname{ch}^2 \xi) v = 0;$$

$$(4) \quad v(\xi_0, \eta) = \exp [-(k/a)(a \cos \eta_0 \cos \eta - b \sin \eta_0 \sin \eta)], \\ v \rightarrow 0 \text{ при } \xi \rightarrow \infty,$$

где a и b — соответственно большая и малая полуоси эллипса; $k = \frac{au}{2\chi} = \frac{1}{4} \operatorname{Pe}$; η_0 — угол, который составляет скорость u с большой полуосью эллипса a . Решением уравнения (3) получаем выражение для функции $v = v(\xi, \eta)$

$$(5) \quad v = \sum_{n=0}^{\infty} (\gamma_n \operatorname{Cek}_n(\xi) \operatorname{ce}_n(\eta) + \omega_n \operatorname{Sek}_n(\xi) \operatorname{se}_n(\eta)),$$

$$\operatorname{ce}_{2n+i}(\eta) = \sum_{r=0}^{\infty} A_{2r+i}^{2n+i} \cos(2r+i)\eta,$$

$$\operatorname{se}_{2n+i}(\eta) = \sum_{r=0}^{\infty} B_{2r+i}^{2n+i} \sin(2r+i)\eta,$$

$$\operatorname{Cek}_{2n+i}(\xi) = \sum_{r=0}^{\infty} A_{2r+i}^{2n+i} K_{2r+i}\left(k \frac{c}{a} \operatorname{ch} \xi\right),$$

$$\operatorname{Sek}_{2n+i}(\xi) = \operatorname{th} \xi \sum_{r=0}^{\infty} (2r+i) B_{2r+i}^{2n+i} \left(k \frac{c}{a} \operatorname{ch} \xi\right),$$

$$A_r^n = B_r^n = 1, \quad A_{n+2r}^n = B_{n+2r}^n = \frac{k^{2r} n!}{r! (n+r)! 4^{2r}},$$

$$A_{n-2r}^n = B_{n-2r}^n \frac{(-1)^r (n-1-r)! k^{2r}}{r! (n-1)! 4^{2r}}, \quad i = 0, 1,$$

где \bar{K}_n — модифицированная функция Бесселя второго рода [4]; γ_n и ω_n — произвольные константы, которые могут быть найдены из граничного условия на поверхности цилиндра. Подставив (5) в (4), разложив экспоненту в ряд Фурье и разделив четные и нечетные члены, получим четыре независимые бесконечные системы алгебраических уравнений для нахождения соответственно γ_{2n} , γ_{2n+1} , ω_{2n} , ω_{2n+1} :

$$(6) \quad \sum_{n=0}^{\infty} \gamma_{2n} \operatorname{Cek}_{2n} A_{2r}^{2n} = (2 - \delta_{0r}) I_{2r}(z) \cos 2r\varphi;$$

$$(7) \quad \sum_{n=0}^{\infty} \gamma_{2n+1} \operatorname{Cek}_{2n+1} A_{2r+1}^{2r+1} = -2 I_{2r+1}(z) \cos(2r+1)\varphi;$$

$$(8) \quad \sum_{n=0}^{\infty} \omega_{2n+1} \operatorname{Sek}_{2n+1} B_{2r+1}^{2n+1} = -2 I_{2r+1}(z) \sin(2r+1)\varphi;$$

$$(9) \quad \sum_{n=0}^{\infty} \omega_{2n+2} \operatorname{Sek}_{2n+2} B_{2r+2}^{2n+2} = 2 I_{2r+2}(z) \sin(2r+2)\varphi,$$

$$r = 0, 1, 2, \dots, \delta_{0r} = \begin{cases} 1, & r = 0 \\ 0, & r \neq 0 \end{cases},$$

где

$$\text{Cek}_n = \text{Cek}_n(\xi_0); \quad \text{Sek}_n = \text{Sek}_n(\xi_0); \quad z = (k/a)\sqrt{a^2 \cos^2 \eta_0 + b^2 \sin^2 \eta_0}; \\ \varphi = \arccos(a \cos \eta_0 / \sqrt{a^2 \cos^2 \eta_0 + b^2 \sin^2 \eta_0}).$$

Анализ поведения функций Матье, введенных в формуле (5), при малых значениях k дает возможность определить порядок по этому параметру коэффициентов при неизвестных γ_n, ω_n [4]:

$$(10) \quad \text{Cek}_0 A_0^0 \sim \ln k, \quad \text{Cek}_{r+2n} A_r^{r+2n} \sim \text{Sek}_{r+2n} B_r^{r+2n} \sim k^{-r}, \\ \text{Cek}_{r-2n} A_r^{r-2n} \sim \text{Sek}_{r-2n} B_r^{r-2n} \sim k^{-r+4n}.$$

Для решения систем уравнений (6)–(9) воспользуемся правилом Крамера. Из оценок (10) следует, что в определителях, составленных из коэффициентов при неизвестных, произведение диагональных элементов много больше остальных слагаемых. Такими же свойствами обладают определители, полученные заменой первых столбцов столбцом из свободных членов. Расчет последующих неизвестных γ_n, ω_n усложняется с ростом n , однако для их оценки по-прежнему достаточно сравнить произведения диагональных элементов соответствующих определителей. В результате получены следующие соотношения:

$$(11) \quad \gamma_0 = [\ln(4a/k\gamma(a+b))]^{-1} + O(k^2), \\ |\gamma_n| = O(k^{2n}), \quad |\omega_n| = O(k^{2n}) \quad (n \geq 1),$$

где $\ln \gamma (=0, 5772\dots)$ — постоянная Эйлера. Пренебрегая в (5) членами, пропорциональными k , получим при $k \ll 1$

$$v \simeq \gamma_0 \text{Cek}_0(\xi) \text{ce}_0(\eta),$$

$$t \simeq \gamma_0 \exp[(k/a)(c \operatorname{ch} \xi \cos \eta_0 \cos \eta + c \operatorname{sh} \xi \sin \eta_0 \sin \eta)] \text{Cek}_0(\xi) \text{ce}_0(\eta).$$

Поток тепла, отводимого (подводимого) от единицы длины поверхности цилиндра, находится по формуле

$$(12) \quad Q_T = -\kappa \oint (\mathbf{n} \operatorname{grad} T - T \mathbf{n}/\chi) ds,$$

где κ — коэффициент теплопроводности; \mathbf{n} — внешняя нормаль к кривой, по которой проводится интегрирование. Наиболее простой вид формула (12) имеет при $\xi \rightarrow \infty$:

$$Q_T = \pi \kappa (T_i - T_\infty) \int_0^{2\pi} \exp[(kc/2a) \exp(\xi) \cos(\eta - \eta_0)] \times \\ \times \left[(kc/2a) \exp(\xi) \cos(\eta - \eta_0) v - \frac{\partial v}{\partial \xi} \right] d\eta.$$

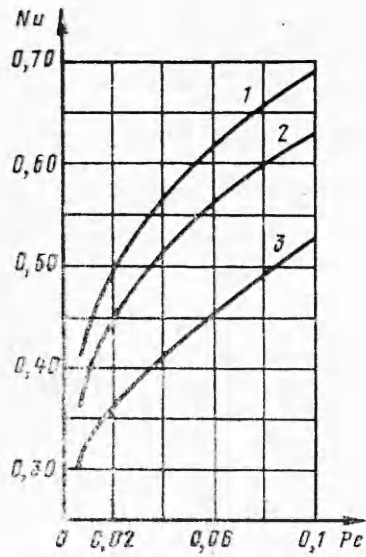
Интегрируя, получим

$$(13) \quad Q_T = 2\pi \kappa (T_i - T_\infty) \sum_{n=0}^{\infty} \left[\gamma_n \sum_{r=0}^{\infty} A_r^n \cos n\eta_0 + \right. \\ \left. + \omega_{n+1} \sum_{r=0}^{\infty} B_{r+1}^{n+1} \sin(n+1)\eta_0 \right].$$

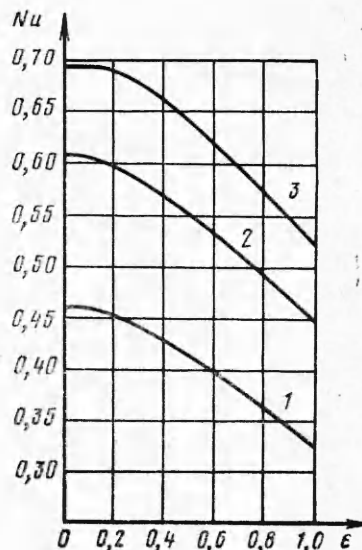
В случае малых чисел Пекле формула (13) переходит в формулу

$$(14) \quad Q_T = 2\pi \kappa (T_i - T_\infty) \gamma_0 = \text{Nu} \kappa (T_i - T_\infty) l / 2a,$$

где Nu — число Нуссельта. Подставляя (11) в (14) и переходя от k к числу



Фиг. 1



Фиг. 2

Пекле, получим для числа Нуссельта выражение

$$(15) \quad Nu = (4\pi a/l) [\ln(16a/\text{Pe} \gamma(a+b))]^{-1},$$

где l — длина окружности эллипса. При $b/a \rightarrow 0$ (случай пластиинки) выражение (15) стремится к пределу $\lim_{b/a \rightarrow 0} Nu = \pi (\ln(16/\text{Pe} \gamma))^{-1}$. В предельном случае кругового цилиндра ($a = b$) формула (15) переходит в выражение, приведенное в [1]: $Nu = 2(\ln(8/\text{Pe} \gamma))^{-1}$. Из (15) следует, что в принятом приближении при $\text{Pe} \ll 1$ поток тепла, отводимый от поверхности цилиндра, не зависит от его ориентации и определяется только значениями числа Pe и отношением полуосей b/a .

Кривые зависимости Nu от Pe и $\epsilon = b/a$ приведены соответственно на фиг. 1, 2. На фиг. 1 кривые 1—3 построены при $\epsilon = 0,1; 0,5$ и 1 соответственно. На фиг. 2 кривые 1—3 построены при $\text{Pe} = 0,01; 0,05$ и 0,1 соответственно.

Поступила 2 XII 1980

ЛИТЕРАТУРА

1. Levey H. C. Heat transfer in slip flow at low Reynolds number.— *J. Fluid Mech.*, 1959, vol. 6, p. 385.
2. Kassoy D. R. Heat transfer from circular cylinders at low Reynolds number.— *Phys. Fluids*, 1967, vol. 10, p. 938.
3. Hieber C. A., Gebhart B. Low Reynolds number heat transfer from a circular cylinder.— *J. Fluid Mech.*, 1968, vol. 32, p. 21.
4. Справочник по специальным функциям. М.: Наука, 1979.

УДК 536.24.241

О ХИМИЧЕСКОЙ РЕАКЦИИ С ВЫДЕЛЕНИЕМ ТЕПЛА НА ПОВЕРХНОСТИ ДВИЖУЩЕЙСЯ В ГАЗЕ ТЕПЛОПРОВОДНОЙ ЧАСТИЦЫ

A. Д. Полянин

(Москва)

Получено решение задачи об определении полей температуры и концентраций, обусловленных протеканием многокомпонентной химической реакции на поверхности движущейся в газе сферы при малых числах Рейнольдса и Пекле. Считается, что частица